УДК 553.491 (470.22)

© И.Л.Олейник, Л.В.Кулешевич, 2016

ПЕТРОХИМИЧЕСКИЕ ОСОБЕННОСТИ И БЛАГОРОДНОМЕТАЛЬНАЯ МИНЕРАЛИЗАЦИЯ КОЙКАРСКОГО СИЛЛА, КАРЕЛИЯ

И.Л.Олейник

000 «Индустрия», г. Петрозаводск

Л.В.Кулешевич,

ФГБУН Институт геологии Карельского научного центра РАН,

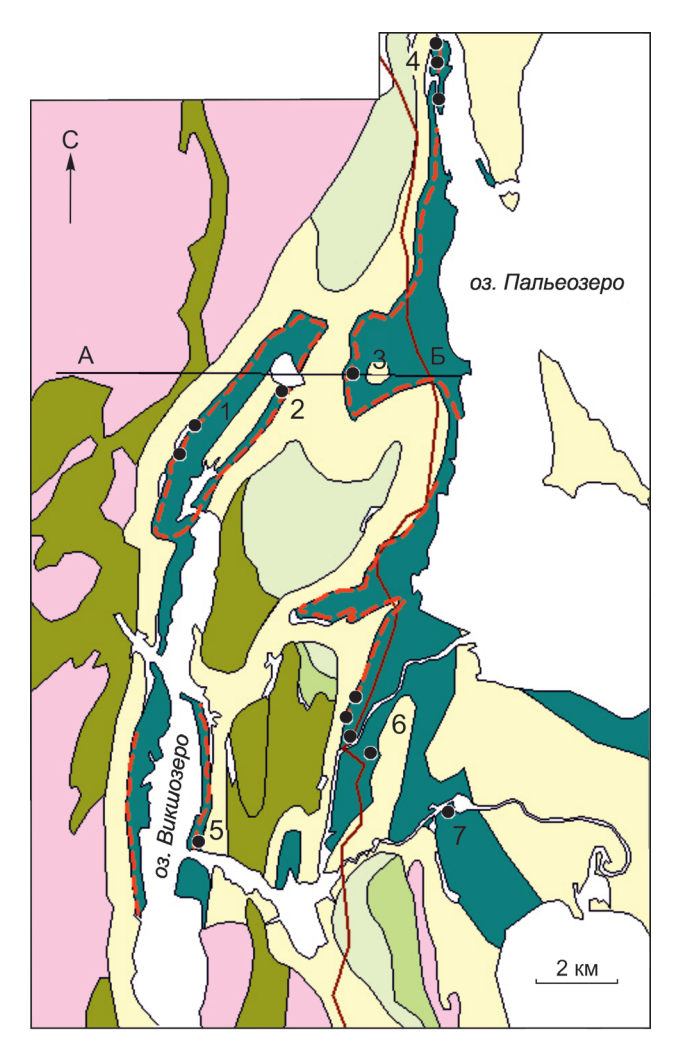
г. Петрозаводск

К верхней части стратифицированного титаномагнетитового горизонта в габбродолеритах Койкарского силла в Центральной Карелии приурочена благороднометальная минерализация. Рассматриваются петрохимические особенности пород и состав Ті-Fе-окисных руд. Благороднометальная минерализация локализуется вблизи границы перехода меланократовых габбродолеритов к субщелочным диоритам и тяготеет к верхней части наиболее богатых титаномагнетитовых руд. Элементы платиновой группы, входящие в арсениды, сульфиды, теллуриды, станниды, и золото ассоциируют с малосульфидной медной минерализацией (1-4%) и образуют протяжённую стратифицированную залежь со средним содержанием суммы благородных металлов 1-3 г/т. Открыто месторождение комплексных благороднометальных руд Викша.

Ключевые слова: Койкарский силл, габбродолериты, титаномагнетитовые руды, элементы платиновой группы, платиноиды, золото, Карелия.

В создании минерально-сырьевой базы элементов платиновой группы (ЭПГ) Карелии большое значение имеет оценка новых и переоценка ранее известных, в частности, железоокисных малосульфидных типов руд, приуроченных к силлам габбродолеритов палеопротерозойского возраста [3, 7]. Палеопротерозойский рифтогенез на Фенноскандинавском щите сопровождался возникновением глубинных разломов, поднятием мантийного диапира и многоактным проявлением базитового магматизма [8]. Данные события произошли в следующей последовательности: внедрение расслоенных интрузий (2,5-2,3 млрд лет), формирование интракратонных бассейнов, выполненных осадками и базальтами ятулийского возраста (2,3-2,0 млрд лет), завершение мантийной активизации коры (2,0-(1,95 млрд лет). В Центральной Карелии на по-

следнем этапе накапливались карбонатсодержащие, аргиллитовые и черносланцевые толщи, развивался базальтоидный интрузивный магматизм людиковийского надгоризонта. В это время (1,983 млрд лет) в западном и восточном бортах Онежской структуры внедряются Пудожгорский и Койкарско-Святнаволокский (далее Койкарский) силлы габбродолеритов [4]. Габбродолеритовый магматизм (траппового типа) приурочен к континентальным рифтогенным структурам центральной части Карелии. С силлами связано титаномагнетитовое и малосульфидное платинометалльное оруденение [2, 3, 5-7]. Койкарское титаномагнетитовое месторождение обнаружено в прошлом веке и оценено геологами СЗГУ под руководством С.И.Зака (1955 г.). Оно приурочено к пластовой интрузии габбродолеритов, которая прослеживается от пос. Кой-



кары до пос. Святнаволок и северного берега оз. Пальеозеро (рис. 1). Протяжённость Кой-карского силла ~20 км, мощность 120–150 м. Рудный титаномагнетитовый горизонт проявлен практически по всей его длине [3].

Содержание титаномагнетита и ильменита в габбродолеритах изменяется от 5–6% в подрудном горизонте до 20–25% в нижней части рудного горизонта и 40–45% в центральной части рудной залежи. В Викшеозерской зоне выделены три рудных тела, Пальеозерской – четыре (длина 0,6–8 км, мощность 2–10 м), прослеженные бурением на глубину 400 м, со средним содержанием Fe_{Ban} в рудах ~23, TiO_2 4,0–12,62 (в среднем 6), V_2O_5 0,32% [3]. Запасы титаномагнетитовых руд составляют 314,1 млн т, однако по основным компонентам во второй половине XX в. они были отнесены к забалансовым. Извлечение ильменита из титаномагнетита в

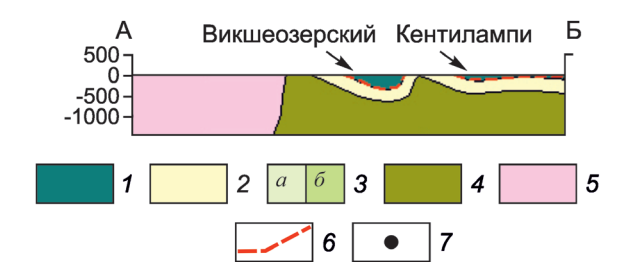


Рис. 1. Схема геологического строения Койкарского силла, построена с использованием материалов С.И.Зака (1955 г.), 000 «Семченское Золото» (2015 г.):

1 — габбродолериты; 2 — отложения ятулийского надгоризонта (кварцевые конгломераты, гравелиты, базальты, карбонатные толщи); 3 — конгломераты (a) и андезибазальты (b) сумийско-сариолийского надгоризонта; b — лопийский надгоризонт; b — нерасчленённые граниты; b — титаномагнетитовый и совмещённый с ним благороднометальный горизонт; b — места отбора образцов (участки: b — Каллиево, b — койкары, b — пос. Гирвас, «вулкан», карьер Койкарский, b — Порр-порог); месторождение ЭПГ Викша: участки Викшеозерский, Кентилампи

титановый концентрат возможно в том случае, если размер его зёрен превышает 0,3 мм.

Впоследствии в титаномагнетитовых рудах были отмечены платиноиды. В 1985–1987 гг. в результате поисково-ревизионных работ на Пудожгорском месторождении титаномагнетитовых руд сотрудниками ЦНИГРИ выявлены повышенные концентрации золота и платиноидов (и их минеральные формы), ассоциирующие с убоговкрапленной медной минерализацией, дана рекомендация ПГО «Севзапгеология» для проведения работ по оценке месторождения на благородные металлы. Также был выделен новый тип Pt-Cu-содержащих шлирово-вкрапленных титаномагнетитовых руд (материалы представлены на XXXI сессии Международного геологического конгресса и в информационноаналитическом обзоре под редакцией А.И.Кривцова, 2001). Работами 1999-2002 гг. ИГ КарНЦ РАН (Н.Н.Трофимов, А.И.Голубев) в титаномагнетитовых рудах Пудожгорского месторождения и Койкарско-Святнаволокской интрузии найдены благородные металлы (Pt, Pd, Au), для Пудожгорского месторождения оценены их ресурсы (Н.Н.Трофимов, 2002 г.). В ходе поисковоразведочных работ (2012—2015 гг.) на Койкарской площади, осуществлённых компанией «Семченское Золото», установлено, что благороднометальная минерализация тяготеет к верхней части титаномагнетитового горизонта, содержащего до 1—4% сульфидов, кроме того, разведаны и утверждены запасы месторождения Викша.

В задачи настоящей работы входило изучение строения и петрохимических особенностей пород силла, типоморфных геохимических характеристик всех выделяемых дифференциатов пород и руд, выяснение содержаний и характера распределения главных рудогенных элементов, микрокомпонентов и закономерностей локализации ЭПГ, определение минеральных ассоциаций благородных металлов. Благородные металлы определялись пробирным методом со спектральным окончанием в Аналитическом центре ЦНИГРИ (г. Москва, г. Тула), а также в ООО «Стюарт Геокемикл энд Эссей» с последующим исследованием методом атомно-эмиссионной спектрометрии с индуктивно связанной плазмой (г. Санкт-Петербург); платиноиды, малые и редкоземельные элементы – атомно-абсорбционным и ICP-MS анализами в ИГ КарНЦ РАН (г. Петрозаводск), ЗАО «РАЦ МИА» (г. Санкт-Петербург) и по скважине – ICP-OES методом в ООО «Геоэкохим» (г. Санкт-Петербург).

Петрографические и петрохимические особенности пород. Койкарский силл представляет собой пластовую интрузию в западном борту более крупной Онежской структуры. Он внедрился между ятулийскими базальтами и вышезалегающими карбонатсодержащими толщами или кварцитопесчаниками, имеет субмеридиональное простирание и складчатое синклинорное строение с пологим залеганием и падением западных крыльев складок на восток под углом 20–30° (см. рис. 1, разрез АБ). Койкарский участок представлен синклинальными структурами более мелкого порядка среди архейских толщ.

Среди вмещающих карбонатов, кварцитопесчаников и базитовых толщ силл хорошо выделяется по повышенной магнитности пород. Дифференцирован на габбровую и диоритовую фазы (габбродолериты и субщелочные диориты – кварцевые диориты). Кроме того, выделяются и более дробные зоны верхнего и нижнего эндоконтактов, подрудная и рудная титаномагнетитовая, надрудная, гранофировая, такситовая зоны, а также зоны с сульфидной минерализацией и ЭПГ. Внедряясь в карбонатные толщи, габбродолериты вызывают в них метасоматические изменения — хлоритовые, актинолитовые, иногда с пиритом; субщелочные диориты сопровождаются биотитизацией, альбитизацией, иногда с турмалином, вкрапленнопрожилковыми пиритом и халькопиритом. В ятулийских кварцевых конгломератах Койкарской структуры под влиянием растворов, отделяющихся от внедряющегося силла, наблюдаются гематитизация и обогащение REE.

Габбродолериты – массивные, мелко-, среднезернистые чёрные мелано- и мезократовые породы. В лейкократовых и такситовых зонах они содержат эвтектические (гранофировые) срастания плагиоклаза и кварца. В зоне закалки породы более массивные, тонкозернистые, по химическому составу близки к среднему составу мезократовых габбро (табл. 1, 2). Минеральный состав габбродолеритов, %: моноклинный пироксен и амфибол по нему (50-55), плагиоклаз (40-35), биотит (до 1-2), вторичные минералы (до 3-10). Содержание титаномагнетита в породах 5–25%, в богатых рудных горизонтах возрастает до 25-45%, количество сульфидов обычно не превышает 1-4% (Си 0,06-0,5%). В гранофировых срастаниях встречаются альбит, кварц (1-2%) и большее количество апатита (до 1–2%). Акцессорные минералы представлены бадделеитом, цирконом, монацитом, вторичные - актинолитом, эпидотом, хлоритом, альбитом. Циркон выделяется после бадделеита и обрастает его.

Первичный моноклинный пироксен в меланократовых габбродолеритах представлен диопсид-геденбергитовым рядом. Он сохраняется в наиболее массивных разностях и реликтах изменённых (амфиболизированных) пород и рудных зон. Пироксен частично или полностью замещён роговой обманкой и незначительно вторичным актинолитом и хлоритом. Амфибол развит наиболее широко, в рудных титаномагнетитовых горизонтах он обычно присутствует в виде тёмно-зелёной подщелоченной кальциевой роговой обманки с примесью Na, K и повышенными концентрациями Cl (1,6-3%). Хлор в небольшом количестве содержится также в биотите (Cl до 2,16%), апатите (F \sim 4, Cl \sim 0,3%) и более поздних актинолитах (Cl до 0,3-0,7%). В рудных габбродолеритах биотит ассоциирует с

| Компоненты | 1 | 2 | 3 | 4 | 5 | 6 | 7 | 8 | 9 | 10 |
|-------------------------------------|-------|-------|-------|-------|-------|-------|-------|-------|-------|-------|
| SiO ₂ | 37,50 | 27,42 | 29,62 | 47,2 | 46,20 | 47,16 | 52,48 | 56,24 | 59,04 | 48,1 |
| TiO ₂ | 5,05 | 7,8 | 7,36 | 2,10 | 2,64 | 2,68 | 1,96 | 2,06 | 1,84 | 2,07 |
| Al_2O_3 | 14,06 | 10,22 | 8,99 | 11,72 | 11,83 | 13,22 | 11,78 | 11,70 | 11,92 | 12,3 |
| Fe ₂ O ₃ | 10,31 | 17,70 | 17,40 | 7,85 | 6,70 | 4,77 | 13,27 | 8,10 | 8,78 | 3,96 |
| FeO | 17,67 | 23,56 | 23,85 | 5,17 | 10,05 | 12,21 | 6,32 | 6,75 | 4,52 | 13,3 |
| MnO | 0,229 | 0,303 | 0,281 | 0,150 | 0,369 | 0,311 | 0,133 | 0,210 | 0,095 | 0,21 |
| MgO | 3,13 | 3,40 | 3,30 | 12,14 | 6,92 | 4,48 | 1,77 | 2,18 | 1,72 | 5,70 |
| CaO | 6,57 | 4,82 | 4,74 | 4,70 | 7,31 | 6,08 | 3,76 | 4,63 | 4,41 | 7,70 |
| Na₂O | 2,58 | 1,39 | 1,51 | 2,79 | 3,12 | 3,77 | 6,06 | 5,20 | 6,00 | 2,56 |
| K ₂ O | 0,65 | 0,65 | 0,68 | 0,35 | 1,99 | 2,04 | 0,37 | 0,54 | 0,15 | 0,97 |
| H ₂ O | 0,06 | 0,01 | 0,11 | 0,33 | 0,08 | 0,21 | 0,14 | 0,29 | 0,05 | 0,19 |
| ППП | 1,91 | 2,08 | 1,99 | 4,84 | 2,37 | 2,37 | 0,90 | 1,26 | 0,65 | 2,49 |
| P_2O_5 | 0,16 | 0,22 | 0,08 | 0,25 | 0,34 | 0,26 | 0,63 | 0,63 | 0,63 | 0,27 |
| Σ | 99,88 | 99,57 | 99,91 | 99,59 | 99,92 | 99,56 | 99,57 | 99,79 | 99,81 | 99,87 |
| alk, % | 3,23 | 2,04 | 2,19 | 3,14 | 5,11 | 5,81 | 6,43 | 5,74 | 6,15 | 3,53 |
| Na ₂ O/K ₂ O | 4,0 | 2,1 | 2,2 | 8,0 | 1,6 | 1,8 | 16,4 | 9,6 | 40,0 | 2,6 |
| aľ | 0,45 | 0,23 | 0,20 | 0,47 | 0,50 | 0,62 | 0,55 | 0,69 | 0,79 | 0,54 |
| ∑FeO+Fe ₂ O ₃ | 27,98 | 41,26 | 41,25 | 13,02 | 16,75 | 16,98 | 19,59 | 14,85 | 13,3 | 17,26 |
| <i>K</i> _φ , % | 89,9 | 92,4 | 92,6 | 51,7 | 70,8 | 79,1 | 91,7 | 87,2 | 88,5 | 75 |
| F., % | 36,8 | 42,9 | 42,2 | 60,3 | 40,0 | 28,1 | 67,7 | 54,5 | 66,0 | 22,9 |
| K ₂ O/TiO ₂ | 0,13 | 0,08 | 0,09 | 0,17 | 0,75 | 0,76 | 0,19 | 0,26 | 0,08 | 0,47 |
| Образцы | Кен1 | Кен2 | Кен3 | Ги1 | Ги5 | Ги7 | Ги9 | Ги8 | Ги6 | Кср |

1. Химический состав пород Койкарского силла, мас. %

Примечание. 1–3 – меланократовое рудное габбро (титаномагнетитовое); 4–6 – мезократовый габбродолерит; 7–9 – субщелочные диориты – кварцевые диориты; 10 – зона закалки, подрудный горизонт. K_{ϕ} =(FeO+Fe₂O₃)·100/(FeO+Fe₂O₃+MgO); F_{ϕ} =Fe₂O₃·100/(Fe₂O₃+FeO); g'=Al₂O₃/(FeO+Fe₂O₃+MgO).

ильменитом-2, его количество несколько больше, чем в безрудных породах. Основной плагиоклаз габбродолеритов обычно раскислен до андезина (Са 9,04–5,39, Na 2,77–4,72%), при этом он также замещается эпидотом и альбитом (Na 7,45–8,22, Ca 1,85–0,66%). Наличие CI, F и ОН-содержащих минералов в рудном горизонте меланократовых габбро указывает на высокую флюидонасыщенность магматического расплава на стадии рудоотложения и повышенное содержание CI в гидротермальных растворах, обусловивших амфиболизацию пород.

Рудный титаномагнетитовый горизонт общей мощностью ~20 м выделяется как стратифицированный. Он прослеживается практически по всей длине силла, наиболее богатая рудная часть располагается выше его подошвы на 33—36 м. Благороднометальная зона, как было установлено благодаря бурению и опробованию керна, находится несколько выше — на 38—42-м метре от подошвы силла.

Титаномагнетит образует октаэдрические и полые скелетные кристаллы (рис. 2, a, z). Содержит от 3,3 до 16,7% Ті и является основным концентратором V. При остывании интрузивного тела избыточный титан из титаномагнетита

сначала выделяется в форме пластинок — ламеллей ильменита-1, ориентированных по трещинкам отдельности, затем при последующих гидротермально-метаморфических преобразованиях образуются сегрегации ильменита-2 в виде неправильных зёрен и овальных стяжений (см. рис. 2, б, в). Ильменит накапливает Мп. Ильменит-2 появляется на стадии изменения породы, сопровождавшейся образованием подщелоченной роговой обманки. Образование более поздних актинолита и хлорита в локальных участках (чаще в диоритах) приводит к появлению титанита.

Субщелочные диориты – породы среднезернистые, массивные, имеют красновато-чёрный цвет, долеритовую структуру, по минеральному составу относятся к роговообманковым или биотитсодержащим. Слагают верхний горизонт силла, установлены в восточной части площади, иногда образуют самостоятельные тела, секущие вмещающие толщи. Породы содержат идиоморфные лейсты плагиоклаза (представленного альбитом), роговую обманку, биотит, кварц. В них увеличивается количество таких акцессорных минералов, как циркон, монацит, ксенотим, иногда появляется торит. В гранофировых зонах

| 2. Соде | ржание | микроко | мпоненто | ов в саррі | оодолери | тах и вм | іещающих | их пород | дах, ppm | |
|---------|--------|---------|----------|------------|----------|----------|----------|----------|----------|--|
| | | | | | | | | | | |

| Компоненты | 1 | 2 | 3 | 4 | 5 | 6 | 7 | 8 | 9 | 10 |
|------------|-------|-------|-------|---------|--------|--------|--------|--------|--------|-------|
| Li | 25,83 | 21,95 | 20,97 | 44,14 | 45,82 | 38,97 | 34,72 | 3,08 | 10,74 | 40,09 |
| Sc | 22,66 | 22,22 | 18,72 | 28,75 | 27,75 | 31,95 | 40,5 | 24,66 | 25,74 | 3,52 |
| V | 2129 | 3221 | 2922 | 2703 | 794,9 | 393,4 | 576,4 | 9,93 | 16,06 | 109,0 |
| Cr | 12,81 | 12,71 | 7,2 | Н | Н | Н | 31,15 | 15,95 | Н | 19,41 |
| Co | 82,71 | 110,3 | 99,2 | 84,85 | 58,41 | 38,63 | 49,30 | 19,59 | 20,13 | 6,80 |
| Ni | 139,5 | 199,7 | 176,2 | 178,9 | 53,53 | 36,93 | 49,76 | 12,39 | 6,30 | 69,32 |
| Cu | 634,8 | 621,9 | 636,1 | 328,5 | 1027,8 | 247,5 | 95,10 | 78,10 | 105,23 | - |
| Zn | 259,2 | 384,2 | 319,6 | 157,95 | 141,03 | 194,38 | 247,53 | 50,17 | 117,38 | 20,82 |
| Rb | 18,1 | 24,64 | 26,15 | 43,10 | 41,26 | 99,62 | 100,40 | 3,08 | 14,0 | 0,6 |
| Sr | 135,3 | 67,75 | 69,22 | 93,26 | 159,74 | 98,13 | 130,63 | 72,31 | 48,97 | 5,82 |
| Υ | 31,44 | 21,55 | 21,78 | 31,27 | 43,32 | 43,04 | 58,67 | 122,59 | 105,24 | 3,90 |
| Zr | 111,9 | 61,37 | 66,66 | 110,57 | 185,74 | 195,10 | 180,61 | 681,89 | 587,14 | 35,88 |
| Nb | 7,612 | 9,196 | 9,058 | 11,45 | 12,34 | 10,63 | 12,83 | 31,86 | 26,53 | 0,89 |
| Mo | 0,9 | 0,933 | 0,822 | 0,79 | 0,8 | 0,25 | 0,74 | 1,18 | 0,52 | - |
| Ag | 0,242 | 0,195 | 0,176 | - | 0,13 | 0,22 | 0,29 | 0,81 | 0,64 | - |
| Sn | 2,503 | 2,264 | 2,402 | - | - | - | - | - | - | - |
| Sb | 0,172 | 0,152 | 0,094 | - | - | - | - | - | - | - |
| Te | 1,873 | 1,436 | 1,485 | - | - | - | - | - | - | - |
| Cs | 0,965 | 1,953 | 2,272 | 3,36 | 2,43 | 9,41 | 13,23 | 0,09 | 0,92 | 0,07 |
| Ва | 138,7 | 168,3 | 163,2 | 360,69 | 350,51 | 327,44 | 204,64 | 66,0 | 126,52 | 24,80 |
| La | 10,05 | 6,734 | 6,992 | 11,24 | 15,62 | 15,18 | 21,2 | 40,26 | 36,29 | 1,47 |
| Ce | 24,05 | 16,58 | 17,29 | 26,39 | 37,67 | 33,42 | 50,98 | 99,90 | 78,78 | 2,74 |
| Pr | 3,275 | 2,344 | 2,35 | 3,60 | 5,23 | 5,03 | 6,80 | 13,78 | 11,46 | 0,39 |
| Nd | 15,2 | 11,1 | 11,15 | 17,09 | 24,67 | 22,69 | 31,40 | 64,59 | 51,03 | 1,81 |
| Sm | 4,527 | 3,245 | 3,277 | 4,68 | 6,60 | 6,63 | 8,24 | 18,21 | 16,07 | 0,40 |
| Eu | 1,414 | 1,01 | 0,998 | 1,48 | 2,07 | 2,34 | 2,44 | 4,75 | 4,16 | 0,07 |
| Gd | 5,693 | 4,088 | 4,231 | 4,72 | 6,63 | 8,26 | 10,37 | 22,57 | 19,94 | 0,57 |
| Tb | 0,908 | 0,659 | 0,679 | 0,93 | 1,30 | 1,39 | 1,70 | 3,63 | 3,33 | 0,09 |
| Dy | 5,412 | 4,012 | 4,136 | 5,85 | 8,19 | 8,90 | 11,11 | 23,27 | 21,01 | 0,73 |
| Но | 1,205 | 0,876 | 0,924 | 1,18 | 1,70 | 1,82 | 2,26 | 4,70 | 4,34 | 0,14 |
| Er | 3,507 | 2,542 | 2,598 | 3,44 | 4,91 | 5,34 | 6,70 | 13,71 | 12,70 | 0,40 |
| Tm | 0,65 | 0,511 | 0,512 | 0,46 | 0,68 | 0,75 | 0,91 | 1,92 | 1,79 | 0,06 |
| Yb | 3,508 | 2,668 | 2,733 | 3,06 | 4,73 | 4,80 | 5,22 | 12,50 | 11,52 | 0,43 |
| Lu | 0,456 | 0,302 | 0,303 | 0,39 | 0,62 | 0,68 | 0,78 | 1,78 | 1,63 | 0,06 |
| Hf | 3,048 | 1,511 | 1,718 | 2,77 | 4,67 | 7,25 | 6,15 | 19,25 | 19,74 | 1,20 |
| Та | 0,598 | 0,67 | 0,65 | 1,06 | 1,12 | 1,14 | 1,12 | 2,70 | 2,69 | 0,25 |
| Pb | 5,016 | 8,395 | 7,107 | 18,98 | 14,98 | 3,69 | 3,34 | 4,46 | 10,51 | 0,87 |
| Bi | 0,227 | 0,215 | 0,189 | - | 0,04 | 0,08 | 0,07 | - | 0,03 | - |
| Th | 1,998 | 1,193 | 1,3 | 1,60 | 2,54 | 2,82 | 3,18 | 9,16 | 0,50 | 5,19 |
| U | 0,298 | 0,178 | 0,188 | 0,34 | 0,43 | 7,55 | 0,76 | 1,79 | 1,47 | 0,38 |
| ∑REE | 79,86 | 56,67 | 58,17 | 84,50 | 120,61 | 117,22 | 160,77 | 325,56 | 274,05 | 9,36 |
| Образцы | Кен1 | Кен2 | Кен3 | Кой17/1 | Кой17 | ПП1 | Ги5 | Ги6 | ПП2 | Ги2 |

Примечание. 1–4 — меланократовые рудные габбродолериты (титаномагнетитовые); 5–7 — мезократовые габбродолериты (6, 7 — биотитизированные); 8, 9 — субщелочные диориты; 10 — метабазальт хлоритизированный; н — нет данных; прочерк — ниже предела обнаружения.

встречаются тонкие «червеобразные» прорастания кварца и альбита, редко калиевый полевой шпат. По темноцветным минералам развиваются вторичный актинолит, хлорит, ильменит замещается титанитом.

Лейкократовые породы (субщелочные диориты – кварцевые диориты) красноватого цвета в связи с окраской альбита, содержащего примеси окисленного железа, меланократовые разности – красновато-чёрного за счёт повышенно-

го количества биотита. Породы обычно имеют высокую Na-щёлочность, низкую железистость, но высокую степень окисления железа (см. табл. 1). Магнетит, ильменит, титанит и гематит в них встречаются в количестве не более 1–4%.

Геохимические особенности пород. Среднее содержание SiO_2 в безрудных габбродолеритах составляет 46–47%, ∑alk=2–3,2%, сумма Fe 13–19% (рис. 3, см. табл. 1, 2). Содержание TiO_2 в габбродолеритах достигает 2–2,7%, V 0,04–0,1%,

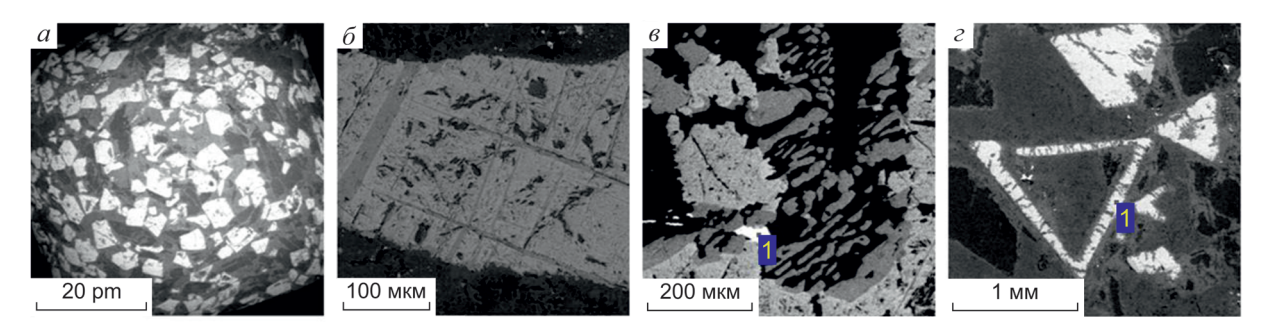


Рис. 2. Титаномагнетитовые руды:

a — богатая вкрапленная руда (обр. Кен3); δ — ламелли ильменита-1 в титаномагнетите; ϵ — халькопирит (1), ильменит-2 (тёмно-серый), магнетит (обр. Кен3); ϵ — скелетные кристаллы титаномагнетита (1) (обр. 457-1)

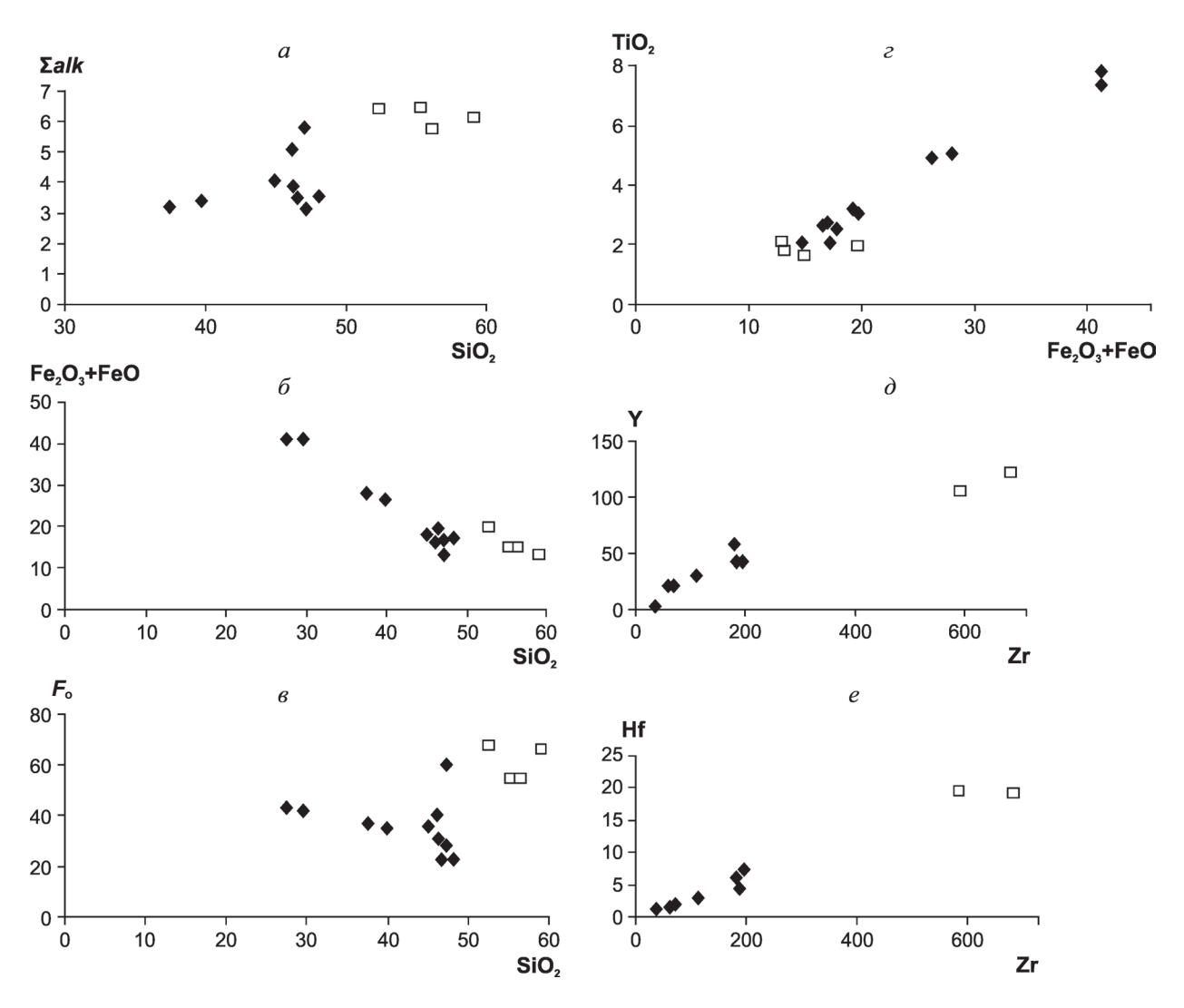


Рис. З. Соотношение основных компонентов и некоторых редких элементов в дифференциатах Кой-карского силла:

 $a - SiO_2 - (Na_2O + K_2O), \%; \\ \delta - SiO_2 - (Fe_2O_3 + FeO), \%; \\ s - SiO_2 - F_o, \%; \\ z - (Fe_2O_3 + FeO) - TiO_2, \%; \\ \partial - Zr - Y, ppm; \\ e - Zr - Hf, ppm - F_o, \%; \\ d - F_o, \%;$

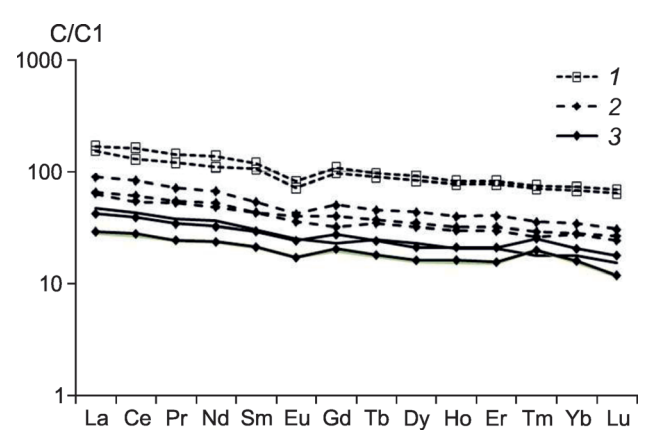


Рис. 4. Нормированное по хондриту (С1) распределение РЗЭ в габбродолеритах Койкарского силла:

1 — субщелочные диориты, 2 — мезократовые габбродолериты, 3 — габбродолериты рудные; С — концентрация элементов, ppm; C/C1 — нормированные значения (С1 — концентрация элементов в хондрите 1)

∑REE 117–160 ppm, Zr 110–195 ppm, Y 31–58 ppm. В породах с повышенным содержанием биотита возрастает количество Li, Rb, Sr. В рудных габбродолеритах содержание SiO₂ снижается до 27% (см. табл. 1), значительно увеличивается сумма железа Σ (FeO+Fe₂O₃) – до 40%. Содержание TiO_2 повышается до 7,8, V — до 0,2—0,32%; концентрации некогерентных элементов и REE составляют: Zr 60-110, Y 20-30, ∑REE 56-80 ppm (см. табл. 2). В мезократовых и рудных габбродолеритах отмечаются несколько повышенные содержания Си и сопутствующих ей элементов (Co, Ni, Zn, Sn, Pb, Bi), связанных с рассеянной вкрапленностью сульфидов и рудных минералов. Низкое содержание Cr (7-40 ppm) в рудных габбродолеритах связано с отсутствием среди дифференциатов силла более магнезиальных пород. Однако в подошве силла концентрация Cr (по K-602) увеличивается до 100-212 ppm, что в целом обусловлено большей основностью пород.

В субщелочных диоритах содержание SiO_2 увеличивается до 53–57%, Σalk =5,74–6,43%, количество TiO_2 снижается и не превышает 2%, V ~0,001 ppm, Σ REE возрастает до 275–326, Zr достигает 590–680, Hf 20, Y 105–123 ppm. Относительно габбродолеритов повышаются содержания редкоземельных элементов Yb, Dy и незначительно Nb, Ta (см. табл. 1, 2).

Состав пород Койкарского силла (SiO₂, сумма щелочей, ∑Fe, Ti, K_{ϕ} , F_{\circ} , Y, Zr, Hf, REE, см. рис. 3) наиболее контрастно отражает его дифференциацию. Все дифференциаты силла относятся к низкоглинозёмистым породам натриевой серии (см. табл. 1). В мезократовых породах коэффициент железистости равен 52–79, в рудных увеличивается до 90-92,6%, степень окисленности железа (F_0) 28–43%. Суммарная концентрация оксидов железа возрастает от 23 до 41,3% в рудных габбродолеритах. В лейкократовых субщелочных диоритах степень окисленности железа увеличивается до 54,5-67,7%, а суммарная концентрация оксидов железа снижается до 13-20%. По содержанию Zr, Hf, Y и ∑REE субщелочные диориты превышают мезократовые и рудные габбродолериты в 2-5 раз, что связано с присутствием в них большего количества бадделеита, циркона, REE-фаз (см. табл. 2). Вмещающие их метабазальты – породы интенсивно хлоритизированные, в отличие от пород силла они содержат более низкие концентрации Ti, V, ∑REE.

Геохимические спектры REE-элементов габбродолеритов и субщелочных диоритов, нормированные по C1 (хондриту 1), слабо дифференцированы, пологие и подобны между собой (рис. 4), что свидетельствует об общности образования пород. В субщелочных диоритах намечается небольшой Eu минимум за счёт отделения плагиоклаза.

Рудный титаномагнетитовый горизонт (по одной из разведочных скважин С-802) подсечён в интервале 210—233 м (23 м). Максимальные содержания Fe_t (до 48,5%), Ti (до 8,3%), V (до 0,16%) установлены в интервале 225—228 м. Результаты опробования керна позволили выявить следующие закономерности распределения рудогенных элементов (рис. 5). Концентрация Тi в рудном горизонте 3,6—8,3%, V 702—1602 ррт. Наиболее высокие для горизонта содержания Ni (130—158 ррт) и Со (61—68 ррт) связаны с редкой пирротиновой вкрапленностью (иногда с пламеневидным пентландитом в нём). Они приурочены к нижней части богатого титаномагнетитового горизонта (см. рис. 5).

Максимальные концентрации Си (от 600 до 1167—1692 ppm) тяготеют к верхней части рудного титаномагнетитового горизонта (к интервалу 210—220 м) с максимальными значениями на глубине 216—219 м, где и устанавливаются

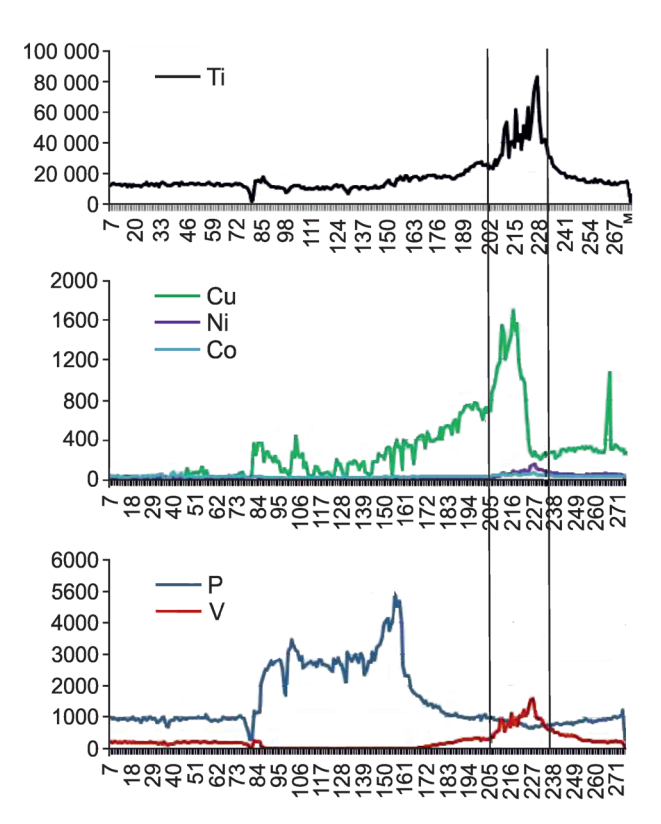


Рис. 5. Содержание Ti, P, V, Cu, Ni, Co в габбродолеритах месторождения Викша (скв. C-802), ppm

максимальные суммарные значения платиноидов. Содержание S в этом малосульфидном титаномагнетитовом горизонте не превышает 0,1—0,5% (среднее 0,24%). Максимальное содержание S (0,88%) по скв. 802 определено в верхней лейкократовой части силла, где коррелируется с Со и связано с более поздней наложенной вкрапленностью пирита.

Концентрации Р в габбродолеритах низкие и не превышают 0,38–0,5% (С-802, интервал 150–159 м, см. рис. 5). Фосфор тяготеет к гранофировым частям силла, где встречается вкрапленность апатита в количестве не более 0,5–1%. Апатитовая минерализация несколько удалена от рудного титаномагнетитового горизонта.

Благороднометальная минерализация на Викшеозерском участке в западной части Кой-карского силла отмечена в рудных габбродолеритах в виде вкрапленности микронного размера от 1–3 до 10–15 мкм в ассоциации с сульфидами. Сульфиды (1–4%) представлены халькопиритом, борнитом, реже встречаются галенит, сфалерит (Fe 1–3%), иногда клаусталит, очень редко науманнит. Сульфиды меди размером

до 0,1–1 мм. Среди более поздних сульфидов, обычно выделяющихся в тонких прожилках или вкрапленности, иногда наблюдаются пирит и халькопирит-2.

Рt-Pd минералы образуют удлинённые, округлые или неправильные кристаллы, зёрна и их срастания (рис. 6). Выделяются в силикатах — пироксене и амфиболе, в срастании друг с другом и с халькопиритом и в целом тяготеют к зоне с рассеянной медной сульфидной минерализацией. Тонкодисперсное золото встречается редко, обычно оно образует тонкие срастания с платиноидами.

Содержания благородных металлов в габбродолеритах (эндоконтактовых, мезократовых и рудных зонах) колеблются, в рудной зоне составляют, г/т: 0,022—0,8 Pt, 0,026—2,4 Pd, <0,003 Rh, 0,9—3 ∑ЭПГ, до 0,008—2,3 Au (данные авторов и [1]). Максимальные значения благородных металлов тяготеют к верхним зонам богатых рудных горизонтов габбродолеритов. С платиноидами коррелируются As, Sb, Te, Sn, образующие с ними соответствующие минералы, несмотря на невысокие концентрации этих элементов (см. табл. 2). Содержание в рудных габбродолеритах, ppm: 2,4—4,8 As, 2,26—2,5 Sb, 1,5—1,9 Te, ~0,2 Bi, 2,3—2,5 Sn.

В северной и северо-восточной частях месторождения Викша (на участке Кентилампи) в рудной зоне непосредственно установлены такие платиноиды, как палладоарсенид, паларстанид, брэггит, винцентит, сперрилит, арсенопалладинит, мончеит и тонкие срастания платиноидов с золотом (табл. 3). Реже (в канаве K-602) встречается изомертиит (11,3-11,06 As, 72,85-73,35 Pd, 15,84-15,59% Sb). В центральной и южной частях месторождения (участок Каллиево) платиноиды также выделяются в срастании друг с другом и иногда с золотом. Они представлены сперрилитом, изомертиитом, Те-изомертиитом, палладоарсенидом, Snили Sb-Te арсенопалладинитом, высокопалладиевым арсенопалладинитом, стиллуотеритом, станнопалладинитом, тетрагональными Pd-Pt станнидами (масленицковит?), паларстанидом, мончеитом, котульскитом (табл. 4). Наиболее распространены хорошо огранённые кристаллы сперрилита, арсенидов палладия и их сростки (см. рис. 6, e-3). Редко отмечаются холлингвортит, Rh улавливается также в сперрилите. В наиболее богатых титаномагнетитовых горизонтах

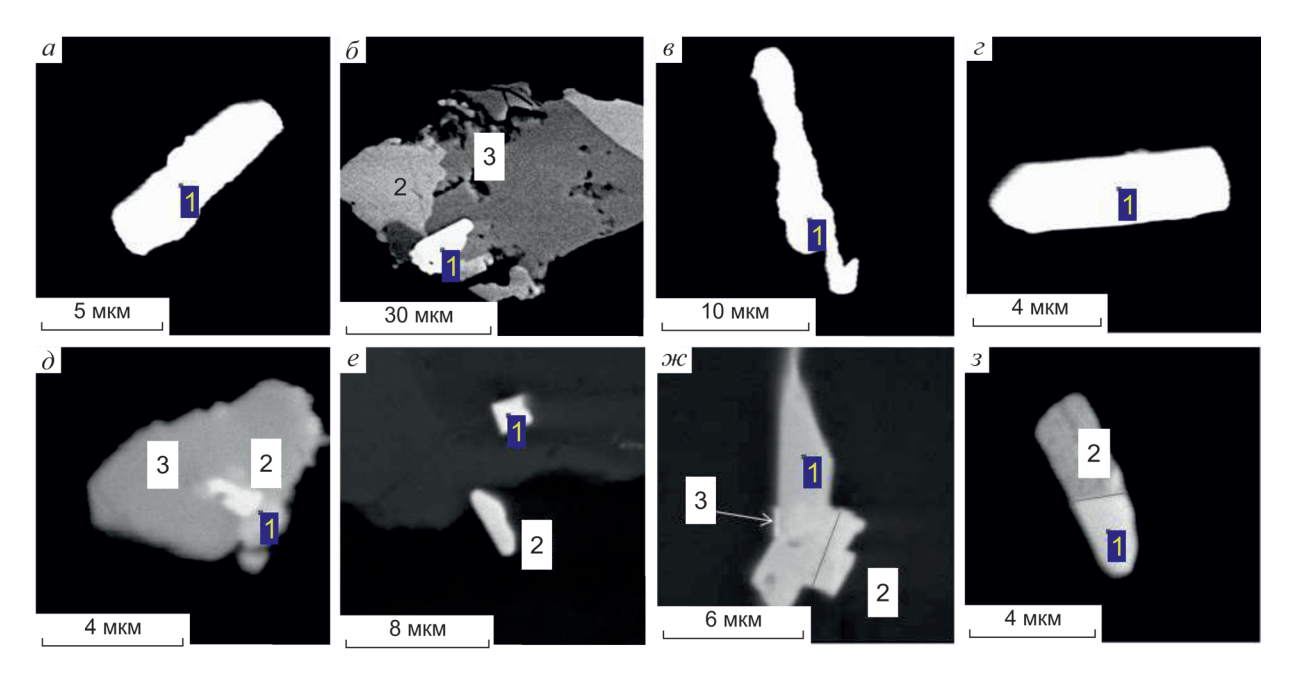


Рис. 6. Морфология минералов благородных металлов в Fe-Ti-O рудах в габбродолеритах месторождения Викша:

участок Северный Викшеозерский (Кентилампи): a — палладоарсенид (обр. Кен1-1), δ — брэггит (1), халькопирит (2), борнит (3) (обр. Кен2-14), s — сперрилит (обр. Кен2-5), s — паларстанид (обр. Кен3), δ — срастание золота (1), сперрилита (2) в арсенопалладините (3) (обр. Кен 3а-7); участок Южный Викшеозерский (Каллиево): e — сперрилит (1), палладоарсенид (2) (обр. 451-14), m — срастание изомертиита (1), сперрилита (2), тонкодисперсного Au (3) (обр. 451-6-3), s — срастание сперрилита (1), палладоарсенида (2)

3. Рd-Рt минералы северной части месторождения Викша (участок Кентилампи), %

| Эле- менты | 1 | 2 | 3 | 4 | 5 | 6 | 7 | 8 | 9 | 10 | 11 | 12 | 13 | 14 |
|---------------|-------|-------|-------|-------|-------|-------|-------|-------|-------|-------|-------|-------|-------|-------|
| Pd | 71,87 | 60,58 | 69,16 | 68,16 | 30,60 | 30,43 | 43,08 | 75,0 | 76,82 | 78,34 | | | 84,36 | |
| Pt | | 11,63 | | 7,58 | 43,30 | 42,54 | 22,79 | | | | 57,14 | 54,20 | | 42,44 |
| Rh | | | | | | | | | | | | 2,02 | | |
| As | 23,49 | 20,34 | 11,61 | 7,68 | | | | 12,60 | 9,34 | 9,27 | 42,86 | 40,71 | 15,64 | |
| S | | | | | 21,03 | 21,61 | 23,54 | | | | | 0,86 | | |
| Te | | | | | | | | 8,10 | 10,65 | 7,12 | | | | 57,56 |
| Sn | | 3,44 | 19,24 | 13,34 | | | | | 3,20 | 3,72 | | | | |
| Sb | | | | | | | | 2,92 | | | | | | |
| Bi | | | | 0,51 | | | | | | | | | | |
| Au | 3,29 | | | 2,73 | | | | | | | | | | |
| Ni | | | | | 5,08 | 5,42 | 9,95 | | | | | | | |
| Fe | | | | | | | 0,63 | 1,38 | | 1,56 | | 2,21 | | |
| Σ | 98,65 | 100 | 100 | 100 | 100 | 100 | 100 | 100 | 100 | 100 | 100 | 100 | 100 | 100 |
| Образцы | Кен1 | Кен3 | Кен1 | Кен3 | Кен1 | Кен1 | Кен2 | Кен1 | Кен2 | Кен3 | Кен1 | Кен1 | Кен2 | Кен3а |
| Участки | 1-1 | 16-1 | 2 | 14-1 | 9 | 22 | 14 | 11 | 7-1 | 10-1 | 14-1 | 5-1 | 1 | 1 |

Примечание. 1, 2 — палладоарсенид (Pd,Au) $_2$ As, (Pd,Pt) $_2$ As; 3, 4 — паларстанид Pd $_8$ (Sn,As) $_3$; 5—7 — брэггит (Pt,Pd,Ni)S; 8—10 — палладиевый винцентит Pd $_3$ (As,Te,Sn) $_1$; 11, 12 — сперрилит PtAs $_2$; 13 — арсенопалладинит (высокопалладистая фаза Pd $_4$ As); 14 — мончеит PtTe $_2$. Анализы выполнены на электронном сканирующем микроскопе VEGA II LSH с микроанализатором INCA Energy-350 в ИГ КарНЦ РАН (здесь и далее). Пустые клетки — не обнаружен.

| Эле- менты | 1 | 2 | 3 | 4 | 5 | 6 | 7 | 8 | 9 | 10 | 11 | 12 | 13 | 14 | 15 |
|---------------|-------|-------|-------|-------|-------|-------|-------|-------|-------|-------|-------|-------|-------|-------|-------|
| Pd | 74,87 | 76,45 | 4,39 | 75,05 | 75,65 | 47,66 | | 76,47 | 77,08 | 71,80 | 82,83 | 66,83 | 44,05 | 68,48 | |
| Pt | | | 50,9 | | | | 45,37 | | | | | | 28,52 | 8,33 | 10,46 |
| Rh | | | 3,77 | | | | | | | | | | | | 39,72 |
| Au | | | | | | | | | | 7,76 | | | 4,62 | | |
| As | 9,17 | 8,79 | 40,94 | 24,95 | 24,35 | | | 17,95 | 19,15 | 20,44 | 17,17 | 8,18 | | 6,68 | 34,20 |
| Sb | 15,96 | 8,80 | | | | | | | 3,77 | | | | | | |
| Sn | | | | | | | | 5,58 | | | | 24,98 | 28,52 | 15,21 | |
| Te | | 5,97 | | | | 52,34 | 54,63 | | | | | | | | 2,01 |
| S | | | | | | | | | | | | | | | 13,61 |
| Σ | 100 | 100 | 100 | 100 | 100 | 100 | 100 | 100 | 100 | 100 | 100 | 100 | 100 | 100 | 100 |
| Образцы | 451 | 453 | 451 | 452 | 456 | 457 | 456 | 453 | 451 | 451 | 452 | 452 | 457 | 457 | 457 |
| Vuactvu | 6-1 | 22-1 | 6-2 | 1-1 | 10-1 | 0_1 | 5-2 | 17_1 | 22_1 | 1/1_2 | Q_2 | 11_1 | 20-3 | 20-4 | 22-1 |

4. Pt-Pd минералы южной части месторождения Викша (участок Каллиево), %

Примечание. 1 — изомертиит Pd_5AsSb ; 2 — Те-изомертиит $Pd_5(As,Sb,Te)$; 3 — сперрилит (Pt,Pd,Rh) As_2 ; 4, 5 — палладоарсенид Pd_2As ; 6 — котульскит PdTe; 7 — мончеит $PtTe_2$; 8 — арсенопалладинит, Sn-содержащий $Pd_5(As,Sn)_2$; 9, 10 — стиллуотерит Pd_8As_3 , в том числе, 10 — Au-содержащий; 11 — арсенопалладинит ($\Phi asa Pd_7As_2$); 12 — станнопалладинит $Pd_3(Sn,As)_2$; 13 — тетрагональная $\Phi asa (Pd,Pt,Au)_3Sn$; 14 — паларстанид (Pd,Pt) $B(Sn,As)_3$; 15 — холлингвортит (Bh,Pt)AsS.

| Элементы | 1 | 2 | 3 | 4 | 5 | 6 | 7 | 8 | 9 |
|----------|-------|-------|-------|--------|-------|--------|-------|-------|-------|
| Au | 84,89 | 68,62 | 69,83 | 76,96 | 84,53 | 83,63 | 85,30 | 85,82 | 80,67 |
| Ag | 15,11 | 31,38 | 30,17 | 23,04 | 15,47 | 16,37 | 14,70 | 14,18 | 19,33 |
| Σ | 100 | 100 | 100 | 100 | 100 | 100 | 100 | 100 | 100 |
| Образцы | 451a | 451 | 451 | Кал457 | 457 | K457-1 | 457-1 | 457-1 | Кен3а |
| VIII | 6.2 | 7 1 | 0 1 | 0 1 | 20 E | E 1 | C 1 | 6.2 | 7 1 |

5. Состав золота месторождения Викша, %

Примечание. 1-8 – участок Каллиево; 9 – Кентилампи.

руд развиты станниды Pd, Pt в срастании с золотом. Теллуриды (мончеит, котульскит) встречаются реже, чем арсениды.

Тонкодисперсное золото (0,5–3 мкм) содержит 14–31% Аg (в среднем 20%, табл. 5), обычно оно выделяется в микропрорастании с платиноидами — арсенидами и стибиоарсенидами (сперрилитом, арсенопалладинитом, изомертиитом, см. рис. 5, ∂ , \mathcal{M}) или станнидами. Кроме того, золото входит в состав палладоарсенида, паларстанида (участок Кентилампи), стиллуотерита и фазы станнидов (Pd,Pt,Au) $_3$ Sn (участок Каллиево), изоморфно замещая платиноиды (см. табл. 3, 4).

Итак, по результатам бурения установлено, что Койкарский силл представляет собой протяжённое пластовое интрузивное тело, участвующее в складчатости в западном крыле более крупной Онежской структуры — депрессии, заложившейся в палеопротерозое на рифтогенном этапе развития территории. Расслоенность силла проявлена в существовании двух основ-

ных типов пород — габбродолеритов и субщелочных диоритов. Граница расслоенности между ними маркируется рудным титаномагнетитовым стратифицированным горизонтом. Мощность рудного горизонта достигает 6–20 м. Отложение титаномагнетитовых руд происходило на позднемагматической стадии.

Габбродолериты — известково-щелочные чёрные породы толеитовой серии. Представлены диопсидом и основным плагиоклазом, на стадии метаморфогенно-гидротермального изменения в них происходит интенсивное замещение пироксена Cl-содержащей кальциевой роговой обманкой (Cl 1,3–3%). Очевидно, повышенное содержание хлора в более поздних амфиболах связано с высокой солёностью Онежского бассейна, оказавшего существенное влияние на флюидно-гидротермальную систему при формировании силла.

Крайние члены дифференциации габбродолеритов с высоким суммарным содержанием Fe и Ti сопровождаются формированием рудных тел с титаномагнетитом и ильменитом. Избыток Ті из магнетита при остывании интрузии выделяется сначала в виде ламеллей ильменита, а затем на стадии метаморфогенно-гидротермальных изменений в форме овальных стяжений и зёрен, при этом V концентрируется в магнетите. Субщелочные диориты — красноватые породы повышенной натриевой щёлочности с высокой степенью окисления железа ($F_{\rm o}$), низким суммарным его содержанием, но близким коэффициентом фракционирования ($K_{\rm o}$). В них присутствуют альбит, амфибол, биотит, кварц.

Габбродолериты и вмещающие их базальты содержат низкие концентрации некогерентных элементов (∑REE 117-160, Zr 110-185, Y 30-43, Hf 3-7 ppm), что характерно для толеит-базальтового магматизма рифтогенных структур. В крайних рудных членах дифференциатов концентрации этих элементов ещё более снижаются (SREE 56-80, Zr 60-110, Y 20-30, Hf 1,5-3 ppm). Дальнейшая эволюция магматизма (до лейкократовых роговообманковых и биотитовых субщелочных диоритов) сопровождается значительным увеличением концентраций элементов (∑REE 275–326, Zr 680, Hf 20, Y 105–123 ppm), что свидетельствует о существенном вкладе коровой составляющей, обогатившей магматический источник (смешении с материалом фундамента). В биотитсодержащих породах повышается содержание калия и редких щелочей. В рудных габбродолеритах суммарное содержание оксидов железа достигает 40% (среднее при подсчётах ресурсов равно 23%), TiO_2 4–12,6 (среднее 6), V_2O_5 0,32, в Викшеозерской зоне TiO₂ 7,8, V 0,2–0,32%.

Новые данные, полученные при опробовании титаномагнетитового рудного горизонта, позволили выделить благороднометальный горизонт и установить, что платинометальная рудная минерализация в Койкарском силле приурочена к верхней его части. Элементы платиновой группы также находятся на границе расслоенности, фиксируемой отчётливой сменой пород, резким возрастанием щёлочности, степени окисленности железа и увеличении (хотя и незначительном) концентраций Си и всех малых рудогенных элементов.

В результате экспериментальных работ [9] доказано, что концентрация платиноидов может значительно увеличиваться в водно-хлоридном

флюиде, существующем в равновесии с базальтовым расплавом при снижении температуры. Таким образом, наличие CI-OH-флюидов, даже при незначительном содержании серы, ведёт к сохранению платиноидов в расплаве вплоть до температуры гидротермального рудоотложения (с осаждением как платиновых, так и палладиевых фаз даже после отложения основных сульфидов). В формировании платинометальной минерализации Койкарского силла также большое значение имели CI-OH-содержащие флюиды, обладающие значительными экстрагирующими свойствами. Это подтверждается присутствием Cl-содержащего апатита в гранофирах и минералов гидротермальной стадии - CI-содержащих амфиболов и биотита. Резкая смена окислительно-восстановительного режима при формировании малоглубинных силлов, смена габбродолеритов с титаномагнетитом диоритами и кварцевыми диоритами тоже оказались благоприятными для отложения сульфидов меди, соединений платины и палладия.

Очевидно, титаномагнетитовые руды образовывались из обогащённых железом толеитовых расплавов на позднемагматической стадии в субвулканических условиях ($T_{\text{обр}}$ руд была близка к распаду фаз магнетит-ильменит, \sim 600°С). Остывание, по-видимому, происходило в достаточно короткий промежуток времени, на что указывают многочисленные скелетные кристаллы – свидетели быстрой кристаллизации. Дефицит серы не способствовал отложению сульфидов железа. Дальнейшее нарушение состава расплава в магматической камере, а также обогащение флюидно-гидротермальной системы солевыми компонентами сопровождалось изменением состава пород (до субщелочных) и интенсивными автометасоматическими их изменениями с образованием Cl-содержащих амфиболов и биотита. На данной стадии появляется ильменит-2. Это благоприятствовало сохранению платиноидов вплоть до гидротермальной стадии и отложению их совместно с сульфидами меди (халькопиритом, борнитом).

Установлена локализация малосульфидной платинометальной минерализации в титаномагнетитовом горизонте, максимально в верхней его части, несколько выше наиболее богатых Fe-Ti руд. Элементы платиновой группы тяготеют к зоне с повышенным содержанием Сu, обусловленным присутствием халькопирита

и борнита (до 1-4% сульфидов), а медь является простейшим геохимическим индикатором. Микрокомпонентный состав благороднометальных рудных зон характеризуется следующим содержанием сопутствующих элементов, ppm: Cu 620-1700, Zn 260-380, Pb 5-8, Te 1,5-2, Sn 2-2,5, Ві 0,2-0,3 (см. табл. 2, рис. 5). Более поздняя наложенная пиритовая вкрапленная минерализация, иногда встречающаяся на разных уровнях и в разных дифференциатах силла, обычно не содержит платиноидов. Благороднометальная залежь прослежена на расстояние до 10 км, согласно со стратифицированным характером развития титаномагнетитового рудного горизонта. Несмотря на невысокие суммарные концентрации благородных металлов в рудах (∑ЭПГ в среднем 1–3 г/т на мощность \sim 4–7 м), их ресурсы представляются значительными. Это позволило выделить и утвердить благороднометальное месторождение Викша.

Благороднометальная минерализация представлена преимущественно арсенидами, стибиоарсенидами, сульфидами Pt и Pd, станнидами, в меньшей мере теллуридами. Среди них на месторождении Викша обнаружены сперрилит, изомертиит, палладоарсенид, арсенопалладинит, Sn-Sb-Te-содержащие арсенопалладиниты, высокопалладиевый арсенопалладинит, стиллуотерит, станнопалладинит, янцхонгит, винцентит, брэггит, паларстанид, тетрагональный Pd-Pt станид (масленицковит?), мончеит, котульскит, холлингвортит. Большинство этих минералов в Койкарском силле найдены впервые. Повышенные содержания Аи обеспечиваются присутствием примеси золота в платиноидах и самородным тонкодисперсным серебросодержащим золотом (15-31% Ag).

Таким образом, установлено, что месторождение Викша — объект комплексных благороднометальных руд (Au, Pt, Pd, Cu). Основная схема переработки руд — флотационная с получением медно-благороднометального концентрата. Запасы Fe, Ti и V ввиду отсутствия эффективной технологической схемы их получения оценены для сведения. По состоянию на 01.05.2014 г. запасы месторождения по категории C_1+C_2 составляют 48 т условного Pd, или 4,3 т Au, 7,9 т Pt, 18,5 т Pd и 35 тыс. т Cu. В качестве попутного компонента подсчитаны запасы серебра категории C_2 — 12,7 т. Прогнозные ресурсы трёх участков Койкарского

силла Викша, Кенти и Шарги оценены в 88,3 т условного Pd.

СПИСОК ЛИТЕРАТУРЫ

- 1. Иващенко В.И., Голубев А.И. Золото и платина Карелии: формационно-генетические типы оруденения и перспективы. Петрозаводск: КарНЦ РАН, 2011.
- 2. *Металлогения* Карелии / Отв. ред. С.И.Рыбаков, А.И.Голубев. Петрозаводск: КарНЦ РАН, 1999.
- 3. *Минерально-сырьевая* база Республики Карелия / Отв. ред. В.П.Михайлов, В.Н.Аминов. Петрозаводск: Карелия, 2005.
- 4. Новые геохронологические данные по Койкарско-Святнаволокскому и Пудожгорскому габбро-долеритовым интрузивам / Н.Б.Филиппов, Н.Н.Трофимов, А.И.Голубев и др. // Геология и полезные ископаемые Карелии. Петрозаводск, 2007. Вып. 10 С. 49–68.
- 5. Олейник И.Л., Кулешевич Л.В. Благороднометальная минерализация Койкарского силла (Карелия) // Мат-лы XII Всеросс. петрогр. совещания «Петрография магматических и метаморфических горных пород». Петрозаводск, 2015. С. 472–474.
- 6. *Трофимов Н.Н., Голубев А.И.* Пудожгорское благороднометалльное титаномагнетитовое месторождение. Петрозаводск: КарНЦ РАН, 2008.
- 7. Трофимов Н.Н., Голубев А.И., Филиппов Н.Б. Платиноидно- и золотосодержащие ванадий-титаномагнетитовые месторождения в дифференцированных габбро-долеритовых интрузиях Карелии // Платина России. 1999. Т. III. С. 200–211.
- 8. *Турченко С.И.* Металлогения тектонических структур палеопротерозоя. С-Пб.: Наука, 2007.
- 9. Экспериментальное изучение распределения платиноидов и золота между водно-хлоридным флюидом и базальтовым расплавом при *T*=1100−1350°C, *P*=5 кбар / H.C.Горбачев, А.Налдретт, Г.Бругманн и др. // ДАН. 1994. Т. 335. № 3. С. 356—358.

Олейник Иван Леонидович, главный геолог oleynicIL@polimetall.ru

Кулешевич Людмила Владимировна, кандидат геолого-минералогических наук kuleshev@krc.karelia.ru

PETROCHEMICAL FEATURES AND PRECIOUS-METAL MINERALIZATION OF KOIKARY SILL, KARELIA

I.L.Oleinik, L.V.Kuleshevich

Noble-metal mineralization is confined to the upper portion of the stratabound titanomagnetite horizon in the gabbro-dolerites of the Koikary sill, Central Karelia. The petrochemical characteristics of the rocks and the composition of Ti-Fe-oxide ores are discussed. The noble-metal mineralization is emplaced near the boundary of transition from melanocratic gabbro-dolerites to subalkaline diorites and is confined to the upper portion of the highest-grade titanomagnetite ores. PGE (that form part of arsenides, sulphides, tellurides and stannides) and gold are associated with low-sulphide copper mineralization (1–4%) and form an extensive stratabound body with the average total noble metal concentration of 1–3 g/t. Viksha complex noble metal ore deposit has been discovered.

Key words: Koikary sill, gabbro-dolerites, titanomagnetite ores, PGE, platinoids, gold, Karelia.

26—28 октября 2016 года состоится VIII Всероссийский съезд геологов «Богатства недр — на процветание России»



Предстоящий съезд проводится под эгидой Министерства природных ресурсов и экологии Российской Федерации, Федерального агентства по недропользованию и призван рассмотреть ряд наиболее важных актуальных проблем геологической отрасли – фундамента российской экономики.

В мероприятии примут участие представители Администрации Президента Российской Федерации, Правительства Российской Федерации, Федерального Собрания Российской Федерации, органов госвласти, администраций субъектов РФ, а также руководители научных и производственных геологических предприятий.

С программой Съезда можно ознакомиться на официальном сайте www.rosnedra.gov.ru в разделе VIII Всероссийский съезд геологов.